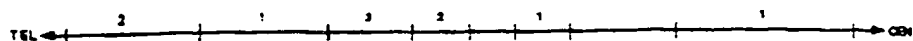
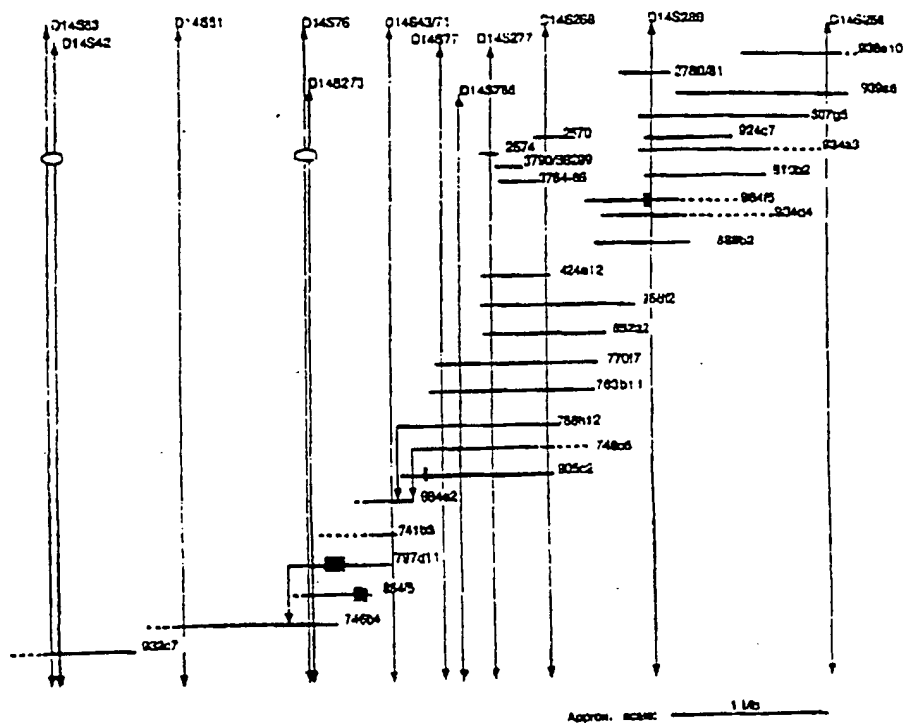


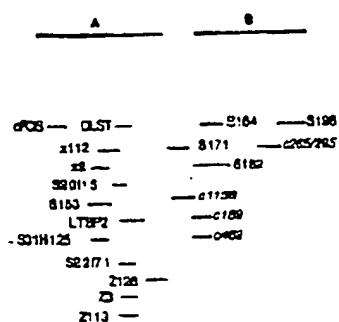
A



B

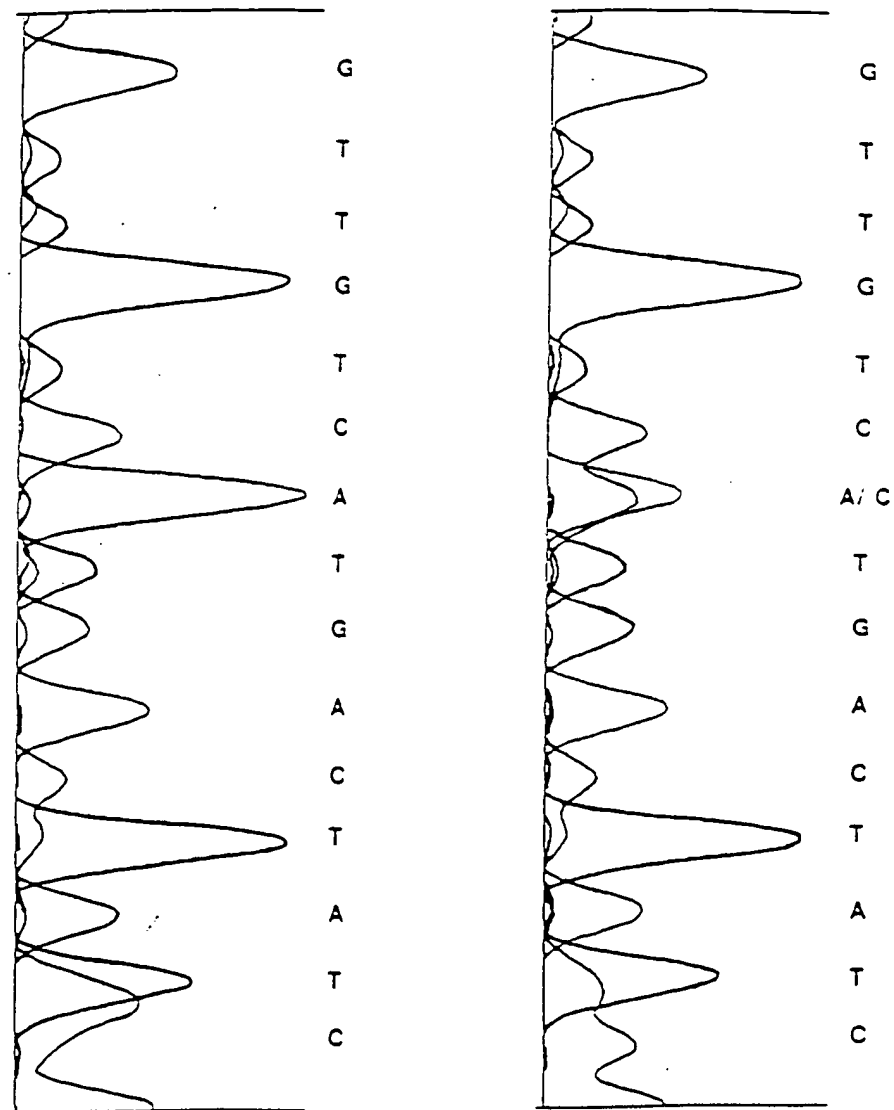


C



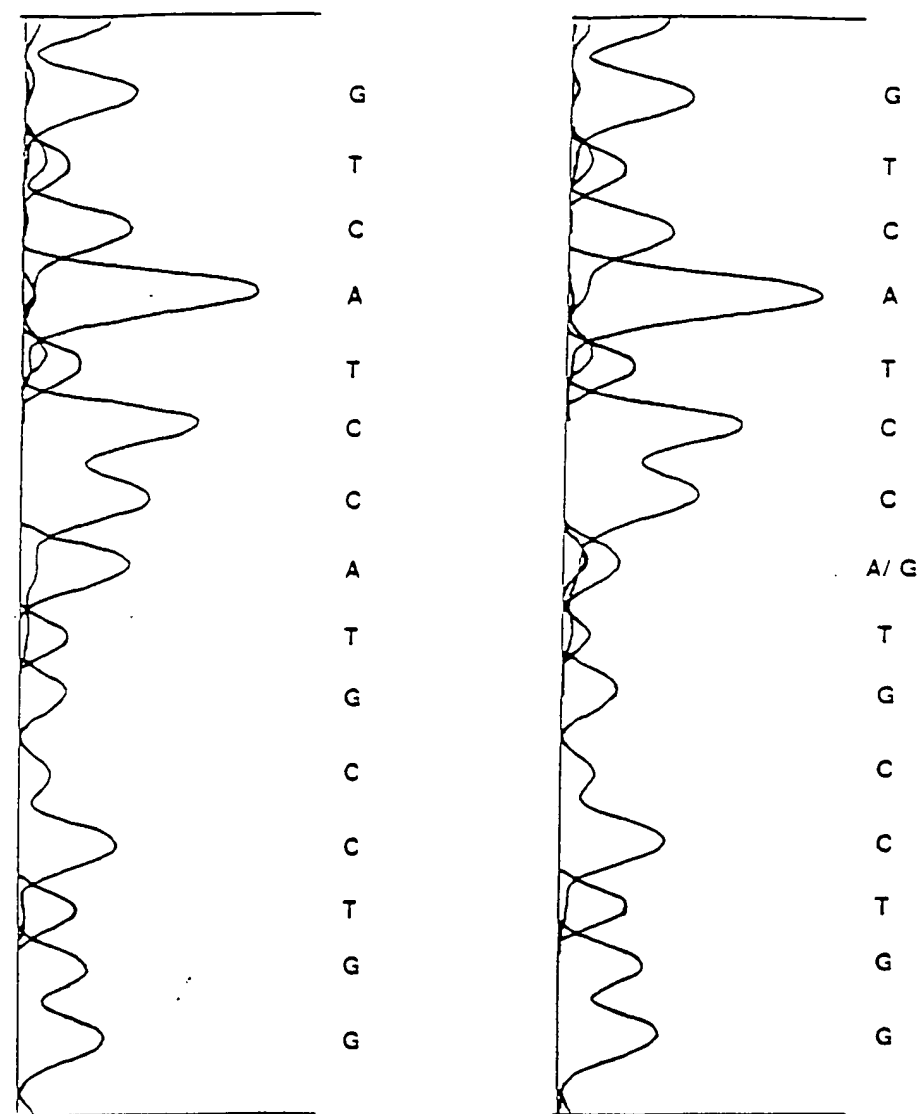
D

FIG. 1



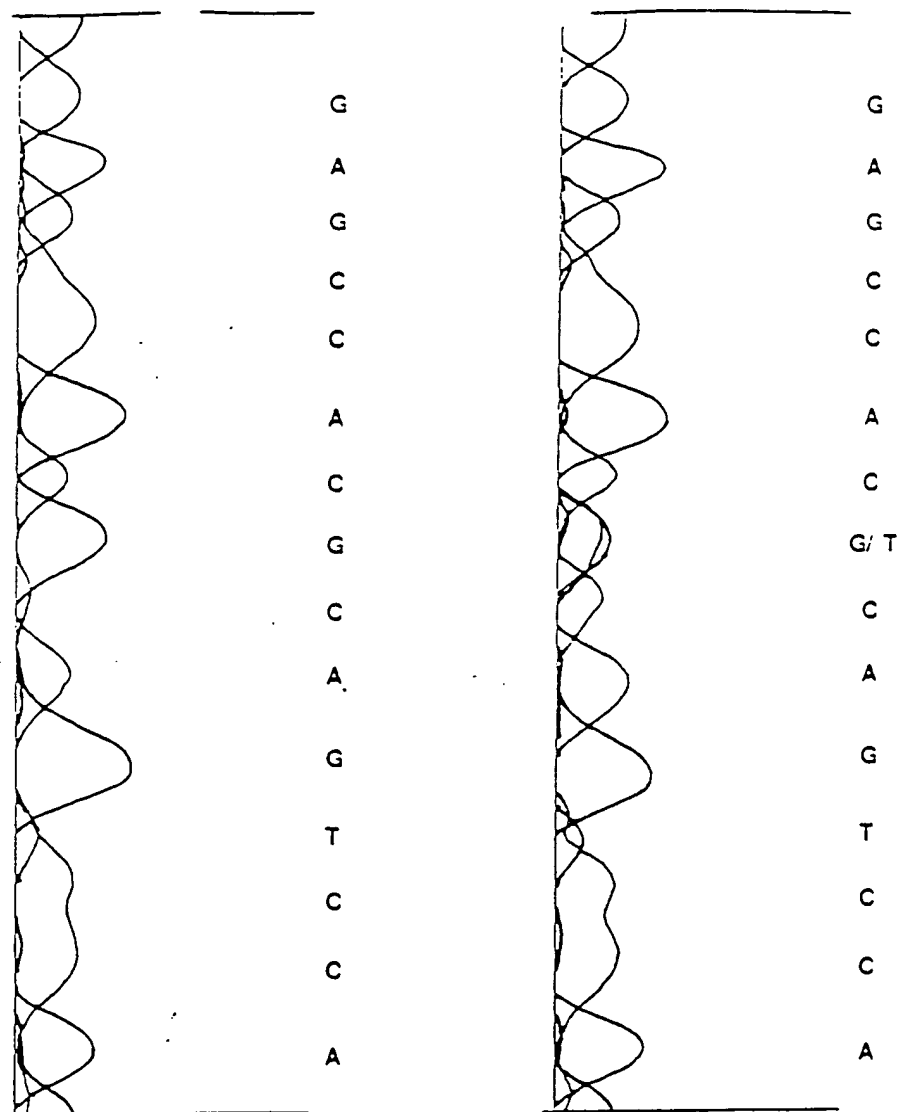
Met 146 Leu

FIG. 2A



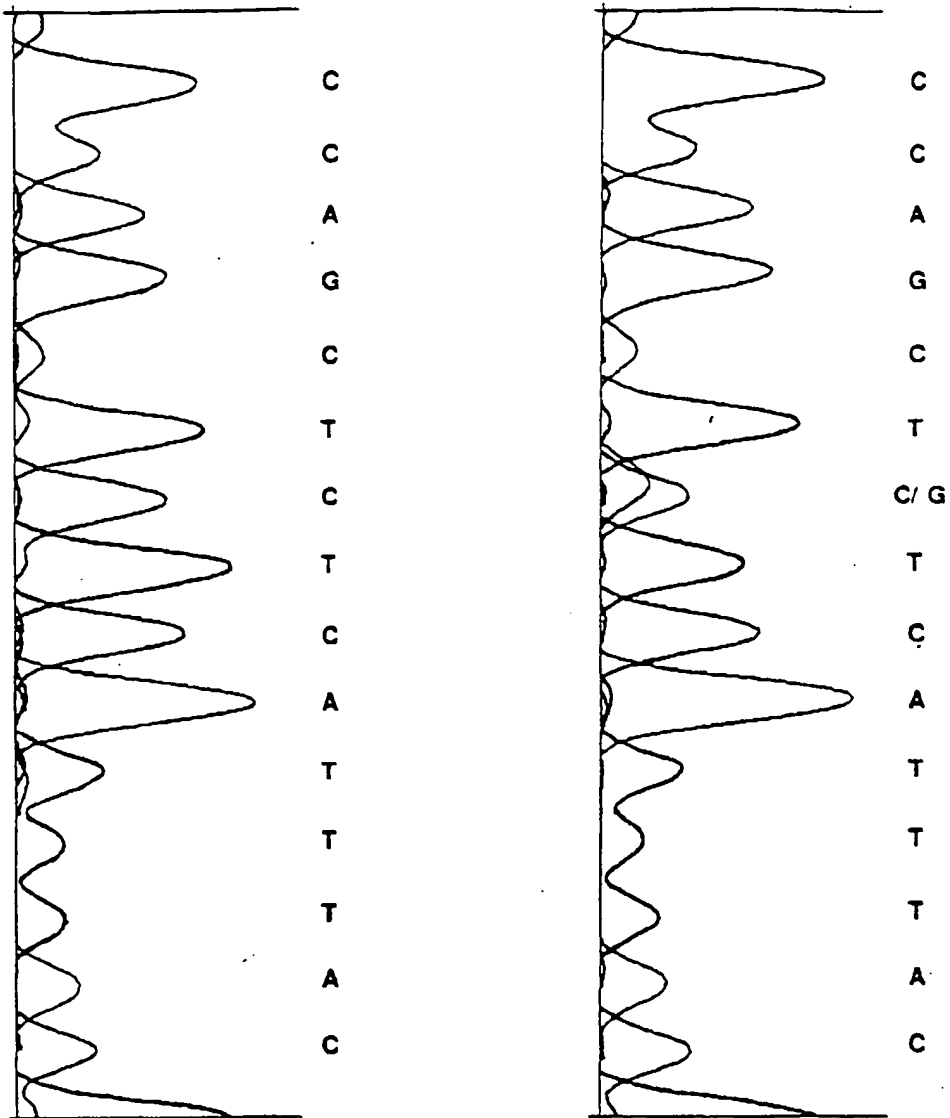
His 163 Arg

FIG. 2B



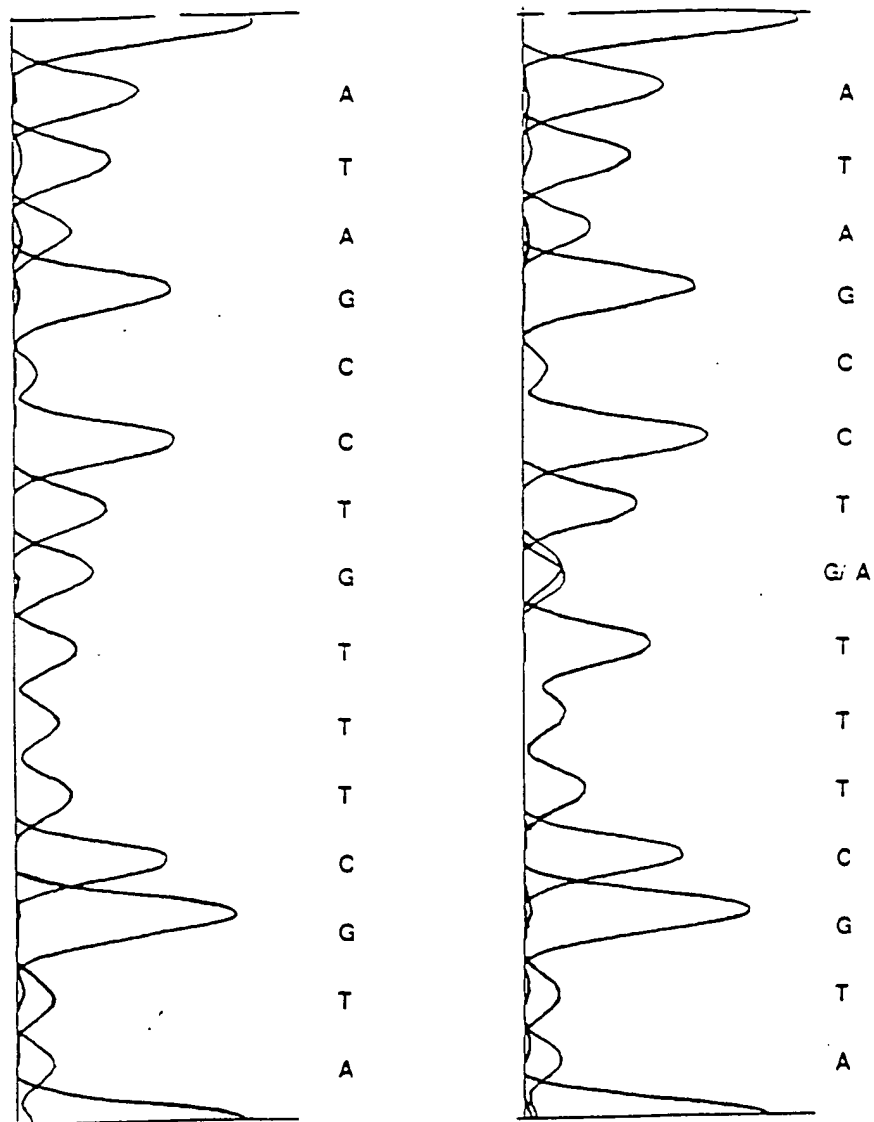
Ala 246 Glu

FIG. 2C



Len 286 Vnl

FIG. 2D



Cys 410 Tyr

FIG. 2E

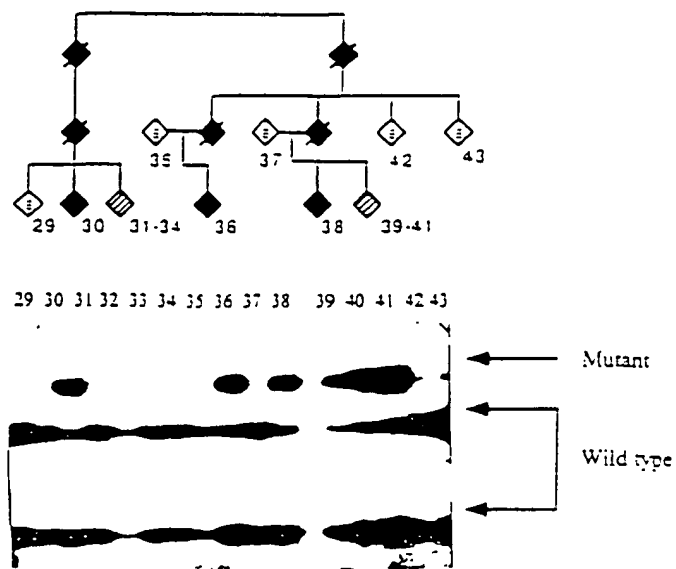


FIG. 3A

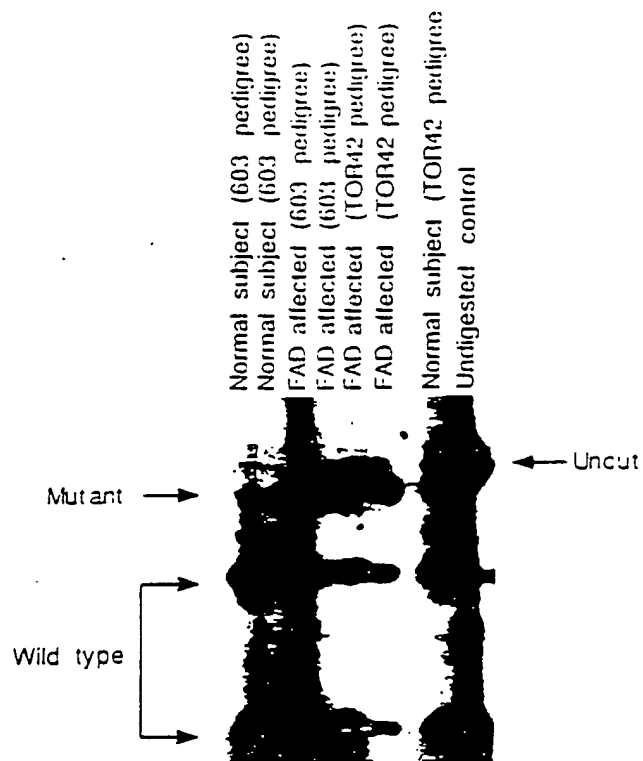


FIG. 3B

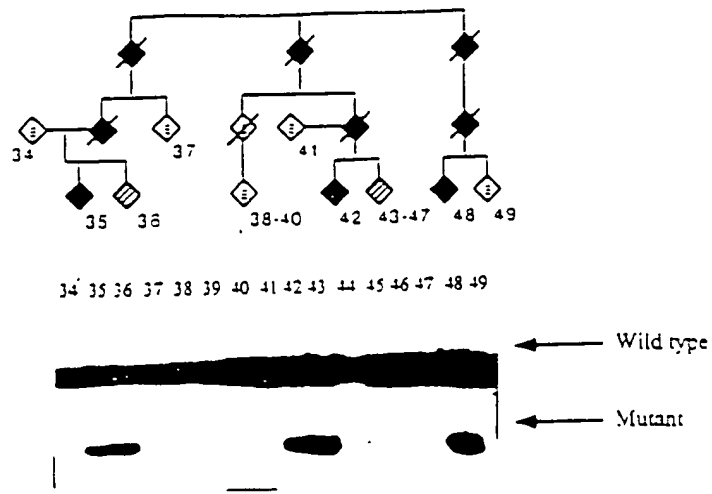


FIG. 3C

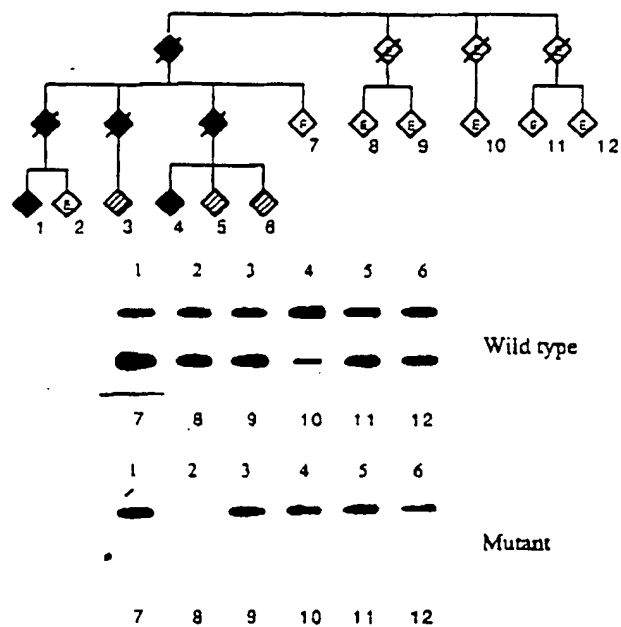
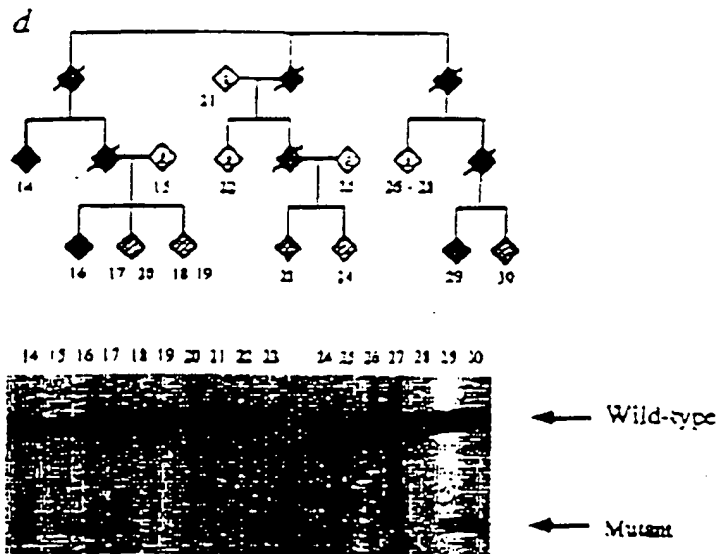


FIG. 3D



14 15 16 17 18 19 20 21 22 23 24 25 26 27 28 29 30

FIG. 3E

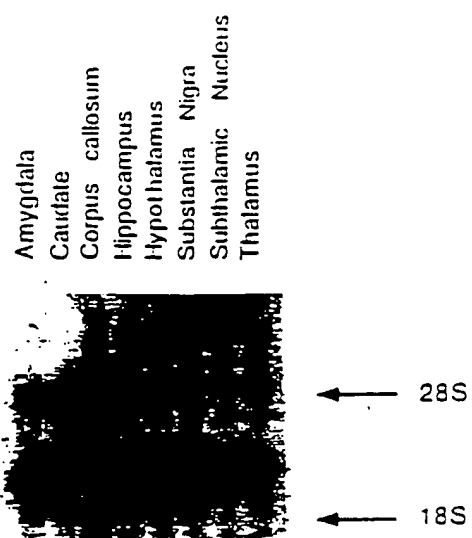


FIG. 4

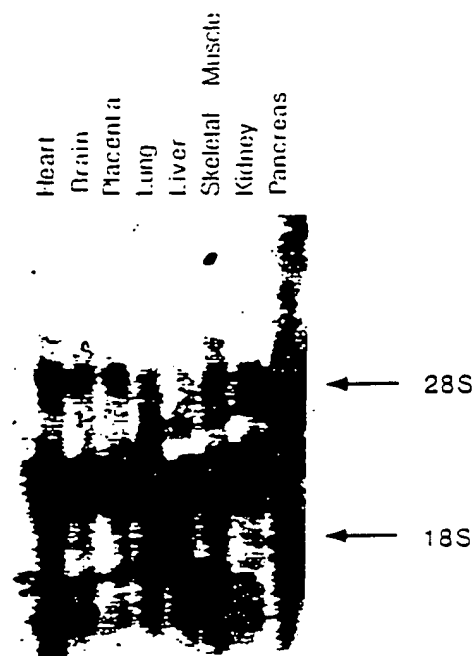
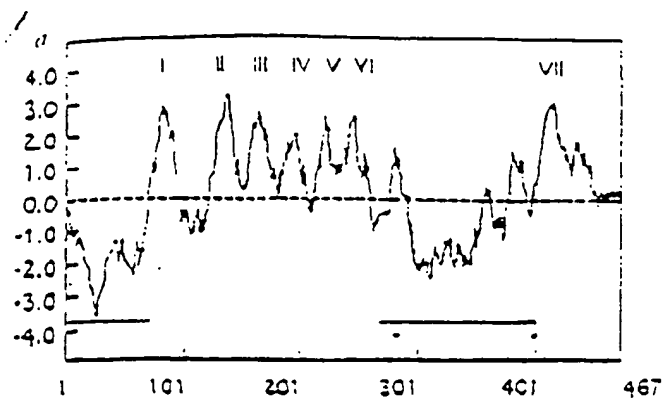


FIG. 5

A



B

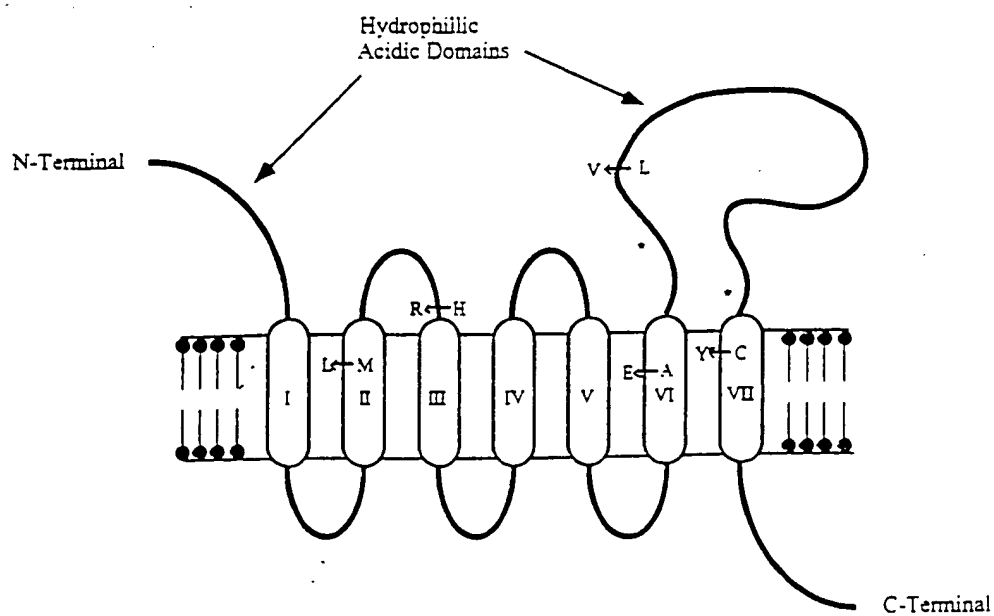


FIG. 6

ES-1

ARMP

ES-1

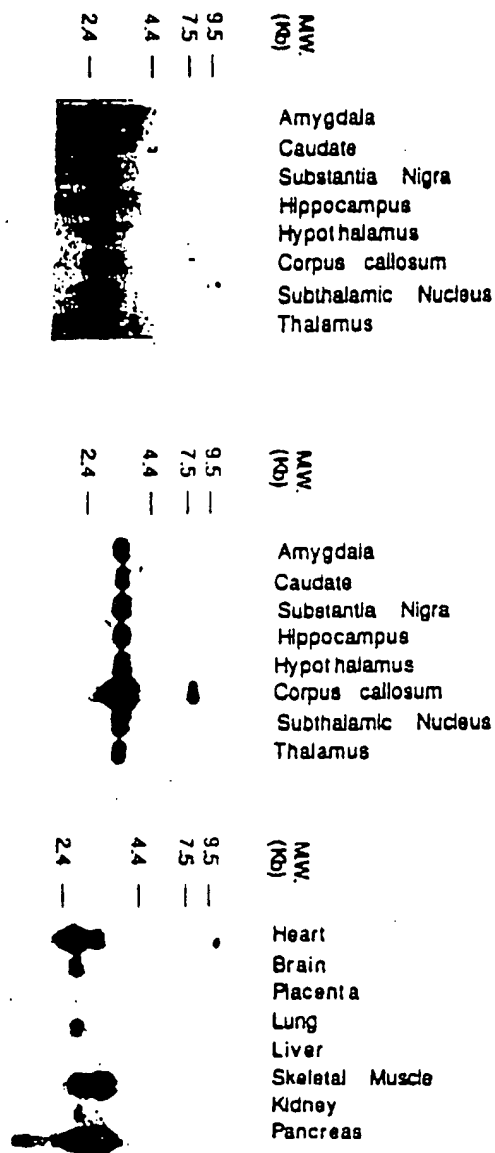
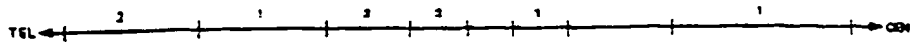


FIG. 7

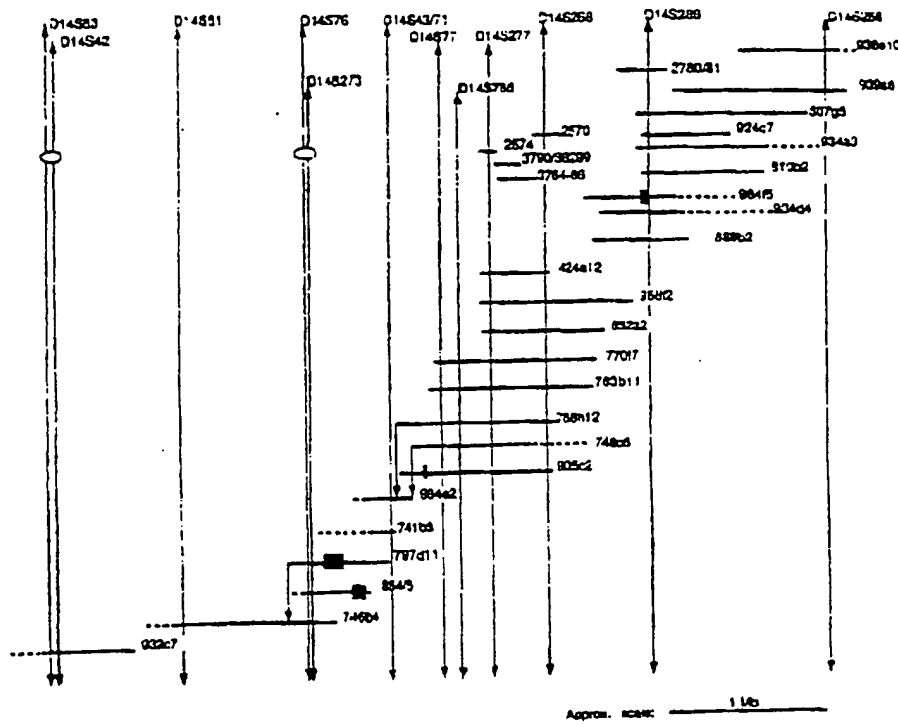


FIG. 8

A



B



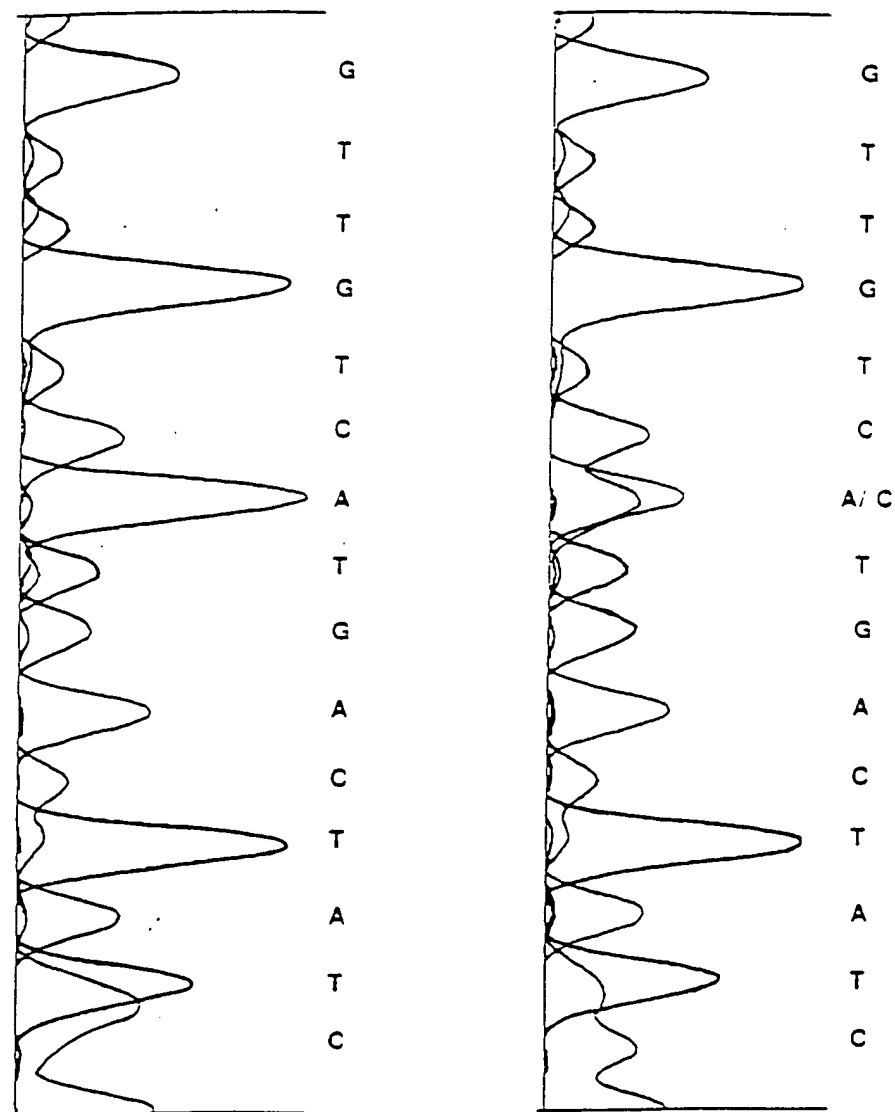
C



D

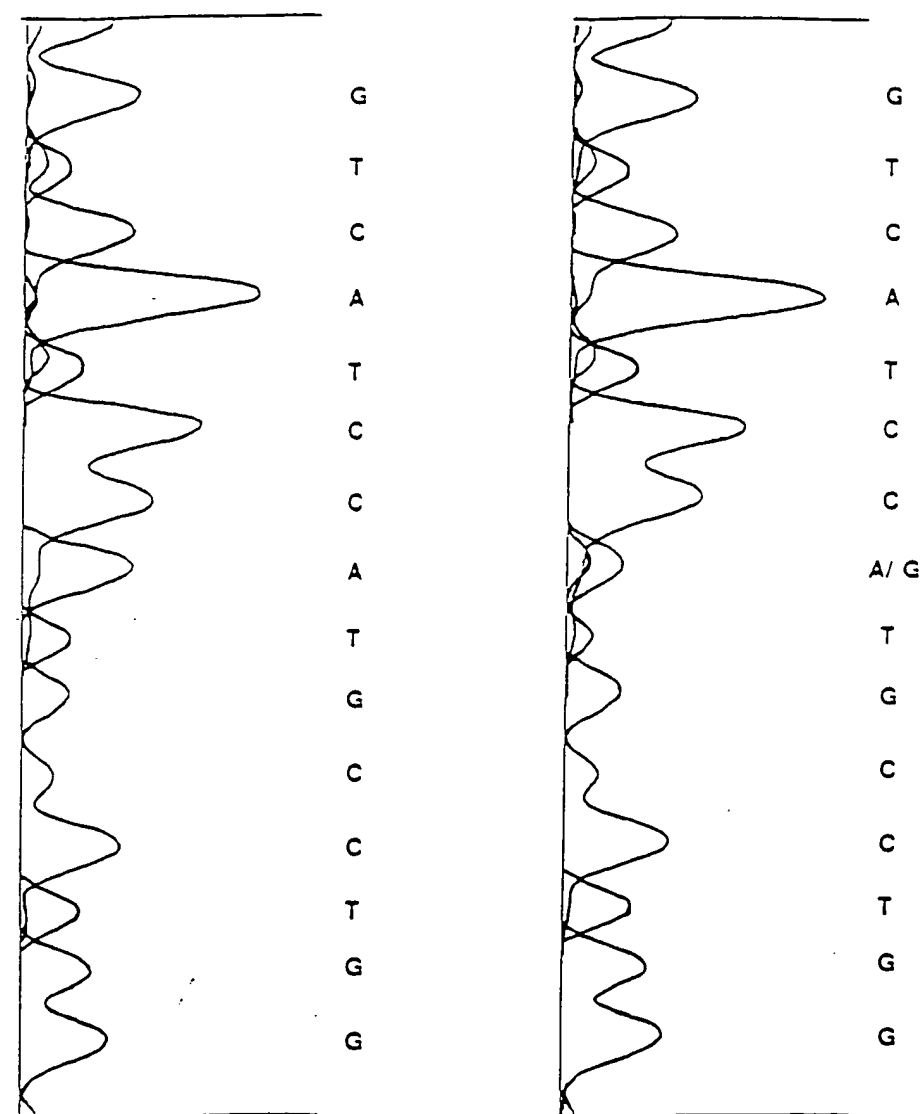
PCS	CLST	8164	8198
z112		8171	8265/285
82		8182	
820115			
8183		81138	
LTBP2		8189	
801H125		8182	
822171			
z128			
z113			

FIG. 1



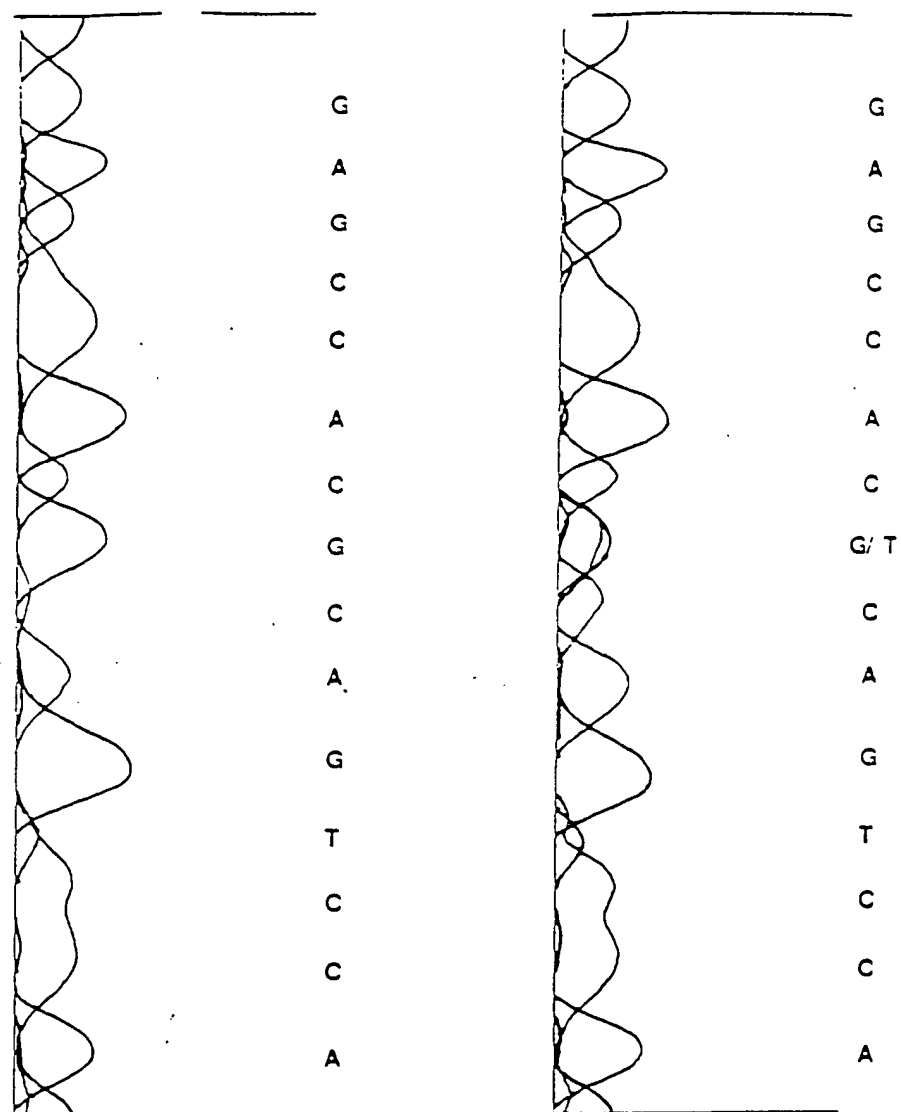
Met 146 Leu

FIG. 2A



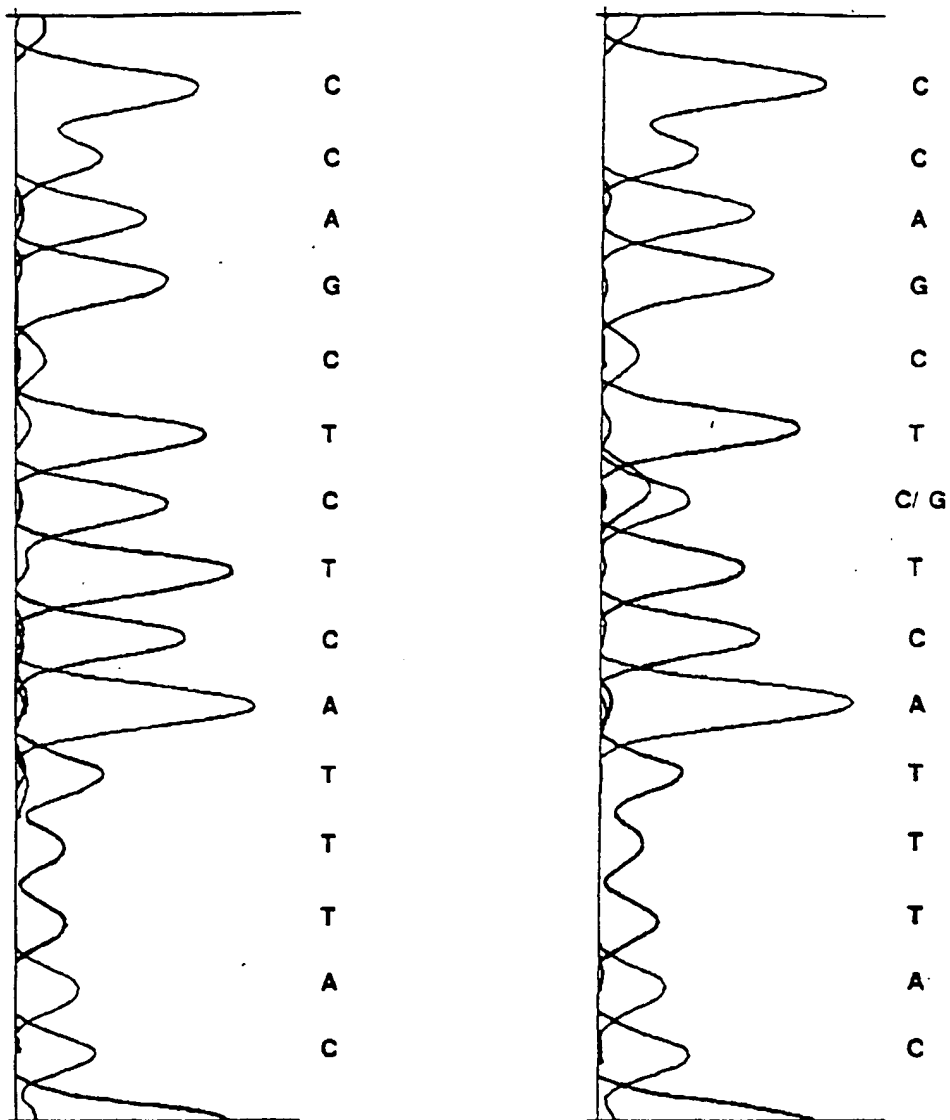
His 163 Arg

FIG. 2B



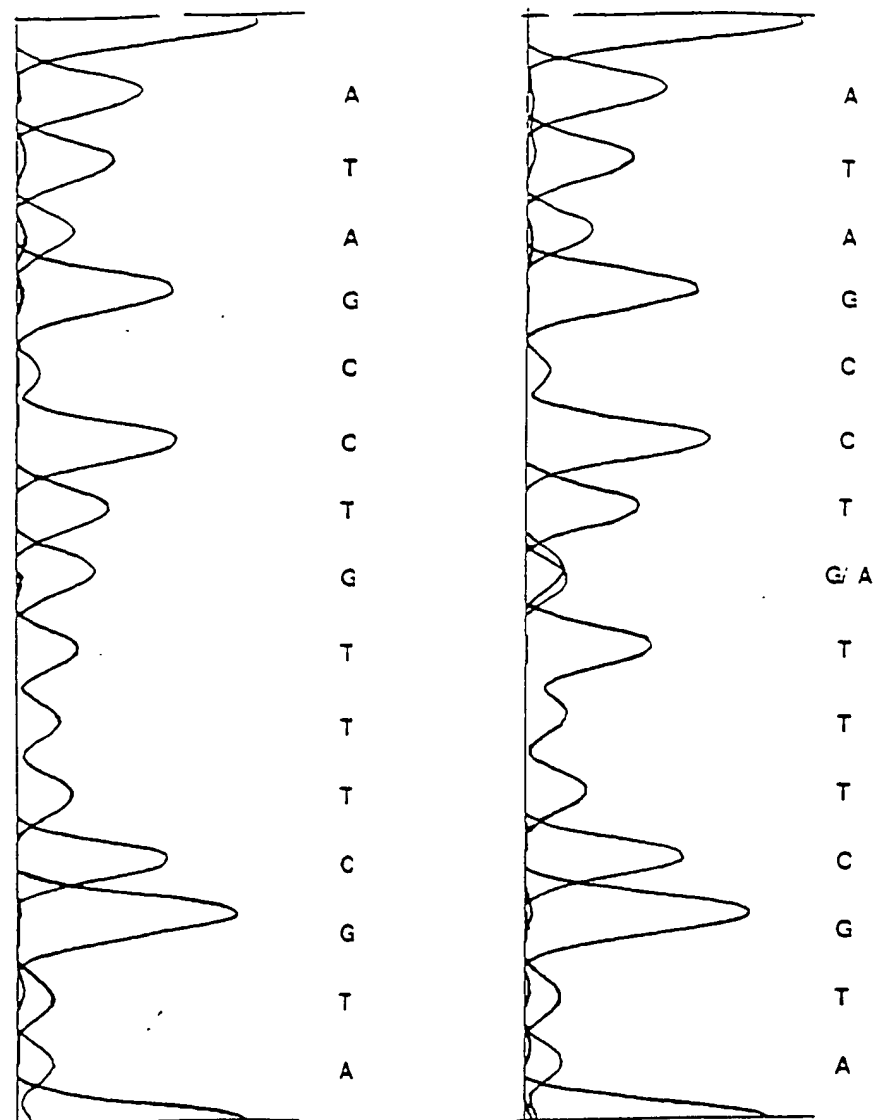
Ala 246 Glu

FIG. 2C



Len 286 Uul

FIG. 2D



Cys 410 Tyr

FIG. 2E

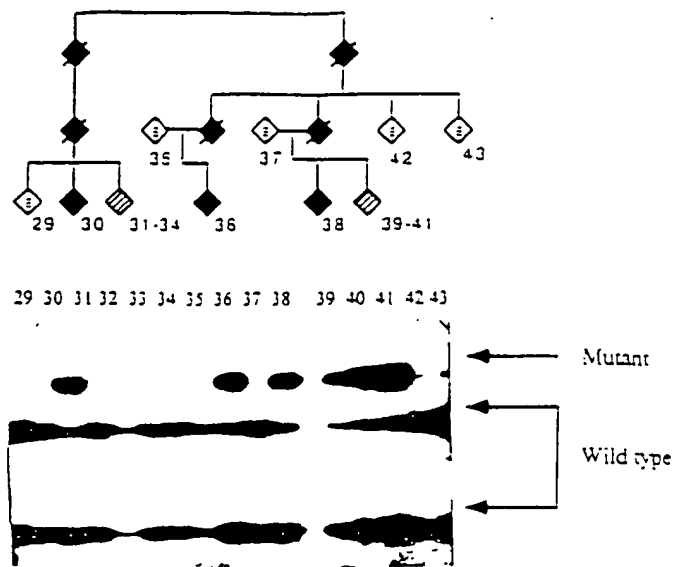


FIG. 3A

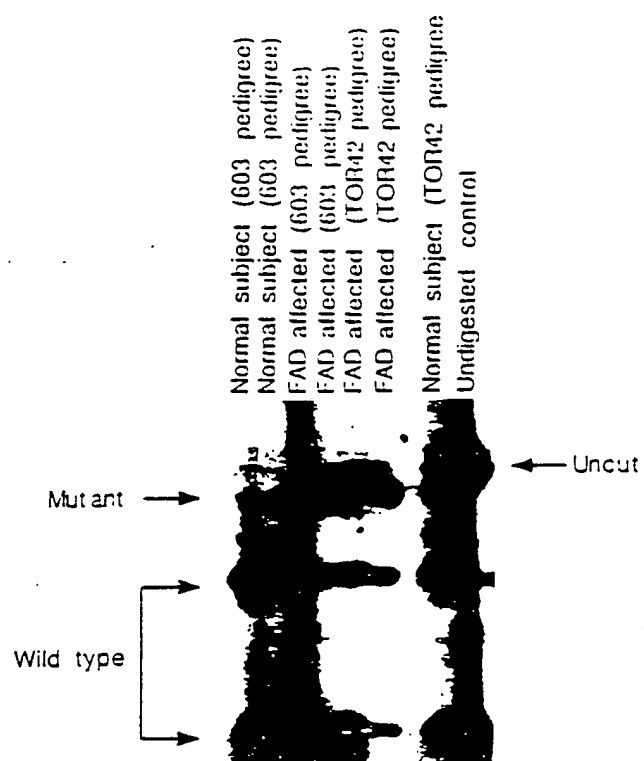


FIG. 3B

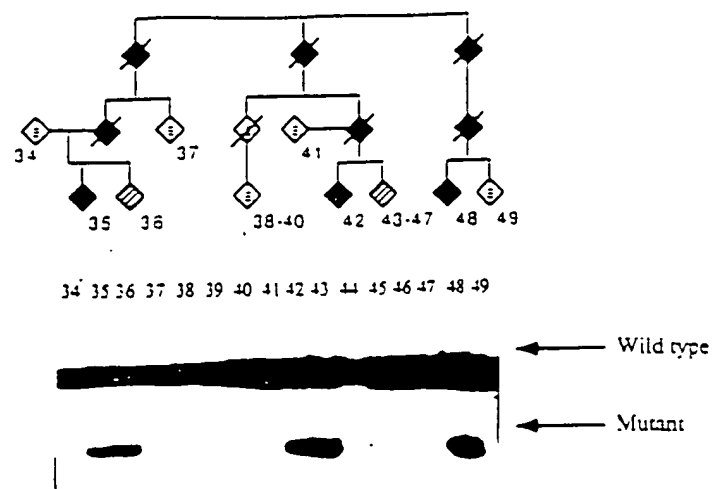


FIG. 3C

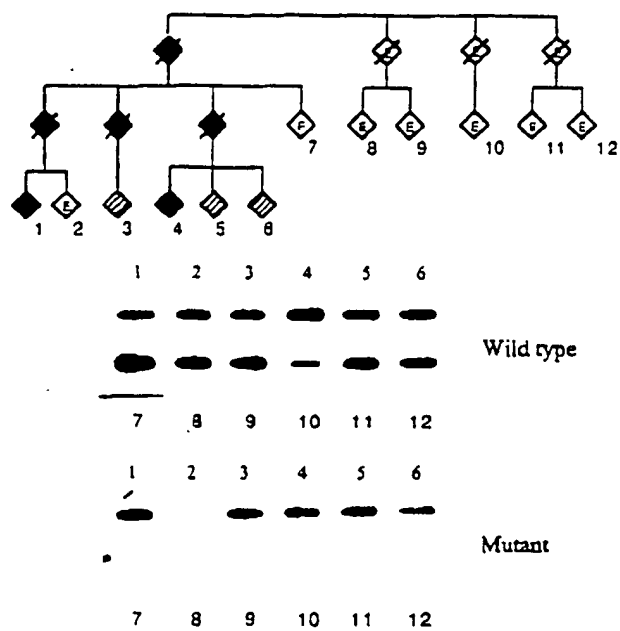


FIG. 3D

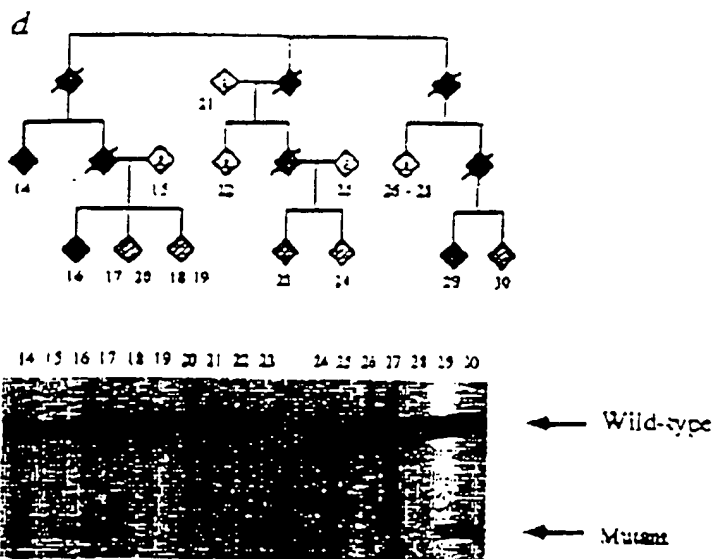


FIG. 3E

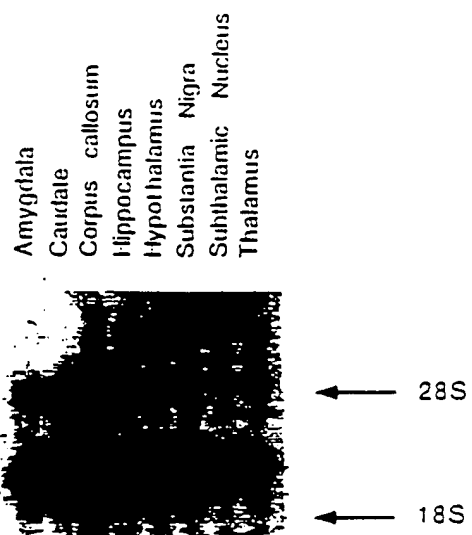


FIG. 4

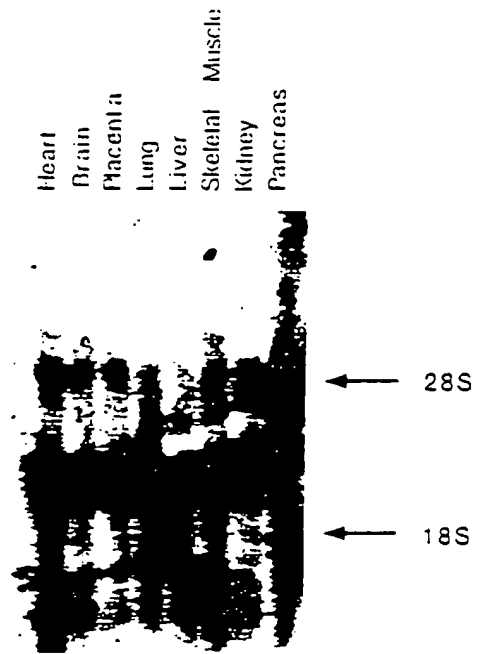
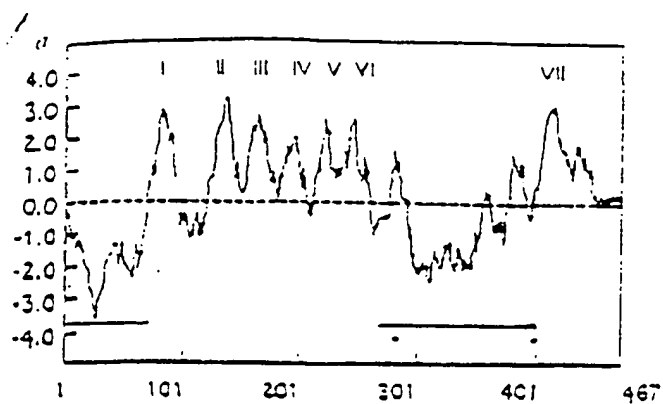


FIG. 5

A



B

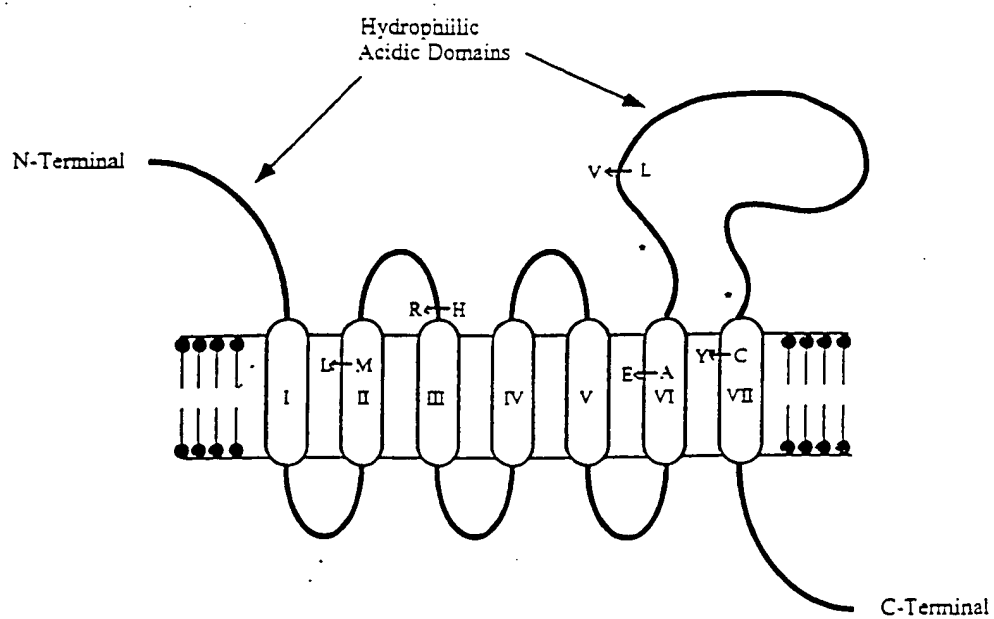


FIG. 6

B-1

ARAP

B-1

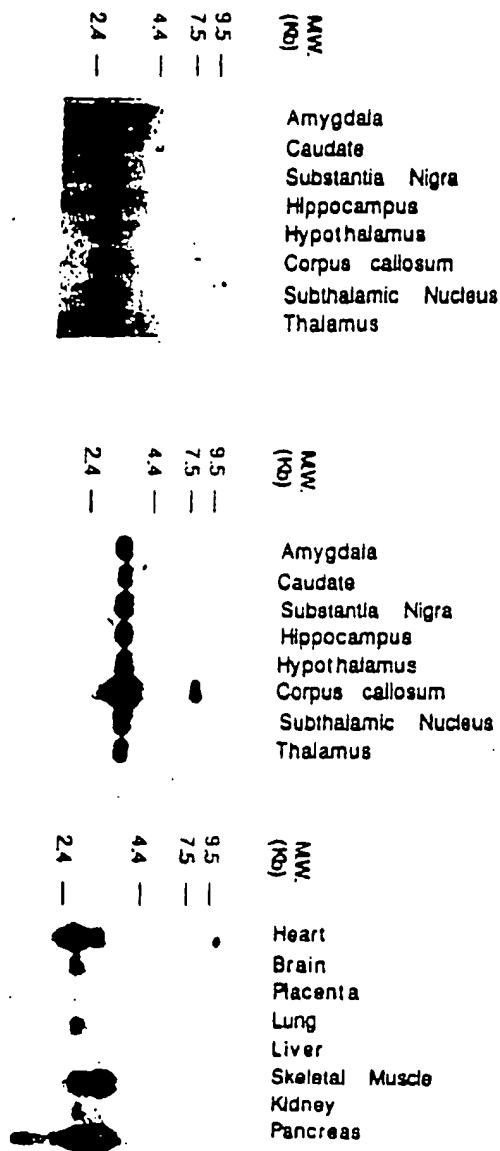


FIG. 7

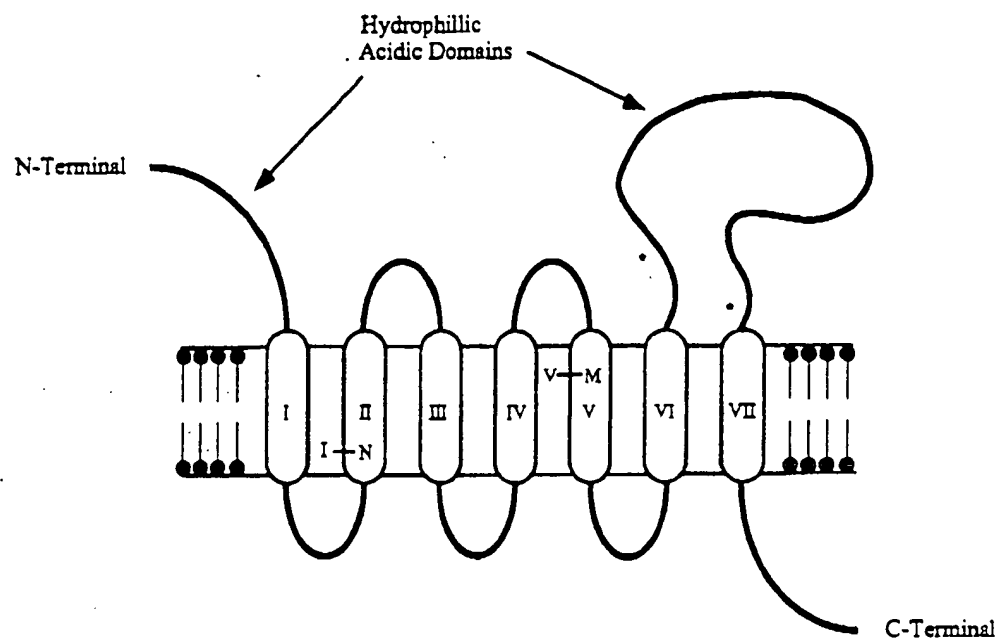


FIG. 8